非対称自由曲面を組み込んだ巨大マゼラン望遠鏡の試験用 カメラのスポット性能の評価

Evaluation of spot performance of the Giant Magellan Telescope Commissioning Camera incorporating freeform lens surfaces

[○]佐々木敦司 ^{1,2)},桐野宙治 ²⁾,ブカン・アンソニー ^{1,2)}

OAtsushi Sasaki^{1,2)}, Okiharu Kirino¹⁾, Anthony Beaucamp^{1,2)}

Anax Optics 株式会社1), 慶応義塾大学理工学研究科2)

Anax Optics Inc. 1), The graduate school of science and technology, Keio University²⁾ E-mail: beaucamp@sd.keio.ac.jp

In this paper, we explore the possibility of equipping the Giant Magellan Telescope Commissioning Camera with a deployable configuration that includes a wave plate and Wollaston birefringent prism for polarization analysis. This setup splits the light into two optical paths and makes the optical system asymmetric relative to the optical axis. By replacing one of the aspheric surface with 2 freeform surfaces, an improvement in spot size of around 9% was achieved within a field of view of 1.8 arcminutes and a wavelength range of 500 to 900 nm.

1. はじめに

巨大マゼラン望遠鏡 (GMT) はチリ共和国のラ スカンパナス天文台で建設中の大型地上望遠鏡で ある。ジェイムズ・ウェッブ宇宙望遠鏡との連携に より宇宙と地上から観測を行い高解像度の画像取 得や良質な光学補償を実施することが期待されて いる。その観測試験用カメラ(COMCAM)に偏光 解析機能 (GMT-Pol) を付与することが計画されて おり、これにより惑星や銀河の非対称性、磁場そし て散乱現象の調査ならびに星間および星周媒体の 研究が実施可能となる[1]。GMT の観測光学システ ムは主鏡と副鏡そして COMCAM のレンズ群によ って構成される。主鏡は 7 枚のミラーセグメント で構成されておりその総直径は25448 mm である。 副鏡は補償光学の役割を担っておりその直径は 3167 mm である。設計視野角は 1.8 arcmin、設計波 長域は500-900 nm であり、観測面に約10 mm x 10 mm の結像を行う。

偏光解析を行うため COMCAM は波長板と Wollaston 複屈折プリズムを含むが、複屈折により 光線は 2 つの光路に分岐し光学軸に対して非対称 な経路をとる。しかしながらシステムを構成する ミラーとレンズは全て軸対象であり、ここにスポ ット性能や色収差を改善する余地があると考えら れる。本記事では観測面直前にある非球面レンズ の前面を自由曲面として再設計することで光学シ ステムの結像性能の向上を試みる。光学システム の側面レイアウトを Figure 1 に示す。光学面の表面 形状は主鏡と副鏡は楕円球面であり COMCAM の レンズは球面、AiRi 非球面または Qbfs 非球面であ る。Wollaston プリズムの材質はカルサイトであり 中間面 S13 が 20 度傾斜している。前方から数えて 27 番目に位置する S27 Qbfs 非球面を Construction-Iteration 法[2]を用いて XY 多項式面に設計しスポ ットサイズの評価を行うことを目的とする。

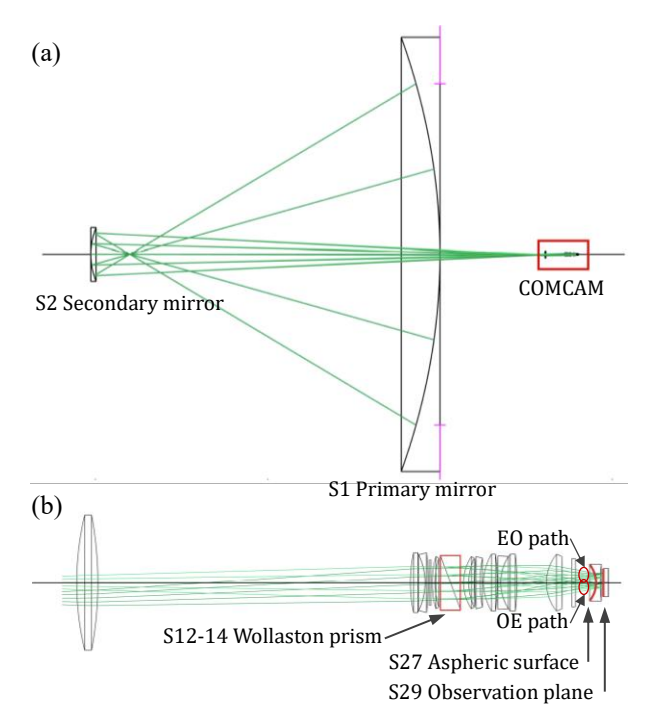


Fig 1 Layout of optical system of GMT at side view: (a) mirrors and commissioning camera (COMCAM), (b) COMCAM

2. 設計手法

Construction-Iteration 法を用いて自由曲面を設計するために設計面 S27 に入射する光線と観測面 S29 における目標点を定義する。この 2 つをそれぞれ光学システムの入力値及び出力値として扱いデータ点の座標及び法線ベクトルを計算する。 その後データ点に対して多項式鏡面でフィッティングを行う。設計手順の概要を Figure 2 に示す。

2.1. 入射光線の定義

入射光線は設計面 S27 のデータ点に入射する光線である。データ点を求めるために主鏡面 S1 に対

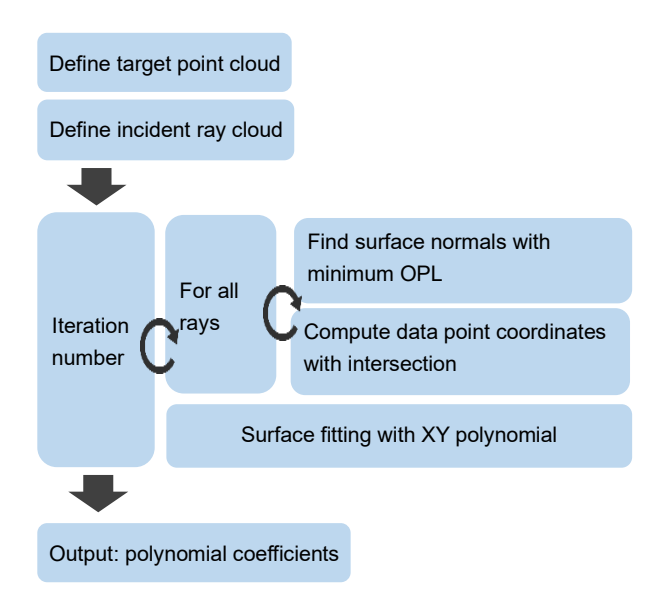


Fig 2 General flowchart of freeform surface design by construction-iteration method

して開口径 20000 mm の円形領域に 37 本の光線を 9 つの入射角 (x 軸と y 軸方向にそれぞれ-0.9, 0, 0.9 arcmin)、3 つの波長 (500, 700, 900 nm) でそれぞれ入射させ設計面における交点を求める。データ点は 9 入射角・3 波長の交点セットの平均をとった 3 7 点の座標群である。次に入射光線を求めるためにこのデータ点から主鏡面 S1 の方向へ逆光線追跡を行いレイ・エイミングにより S1 での最適な入射点を得る。そしてこの入射点を用いて順方向に光線追跡することにより最適化された S27 への入射光線得る。このプロセスにより全ての設計入射角と波長の光線が同一のデータ点へと入射する。これにより、自由曲面多項式フィットの安定性が良上します。Figure 3 にレイ・エイミングにより波長間で共通化された S27 のデータ点を示す。

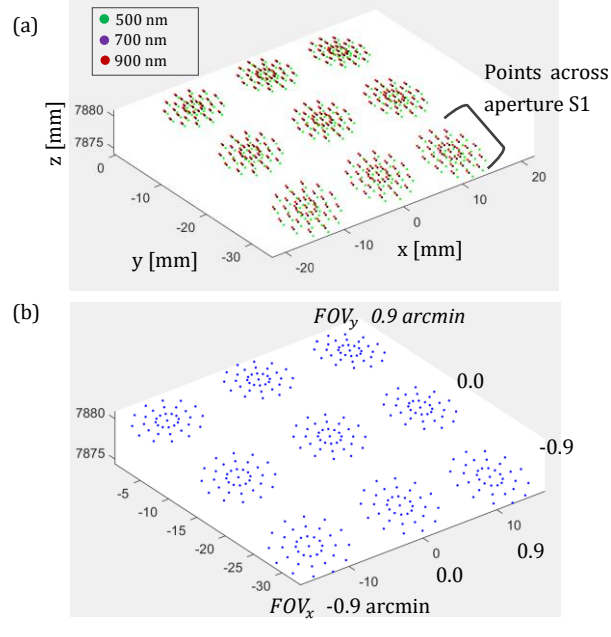


Fig 3 Ray intersection points with S27 for OE path using (a) the initial S1 grid and (b) ray aiming process

2.2. 目標点の定義

目標点を計算するために主鏡面 S1 に 512 本の 光線を全ての入射角・波長の組み合わせで入射さ せ観測面 S29 でのスポットを取得する。Figure 4 に 観測面での像を示す。複屈折により光線が WollastonプリズムでO光線からE光線へと遷移す る光路 (OE 光路) とE光線からO光線へと遷移す る光路 (EO 光路) に分岐する。このため観測面で は入射角と波長の組み合わせ数 27 の 2 倍の 54 個 のスポットを得る。各スポットの座標平均をとり 中心点を計算し目標点として定義する。さらに色 収差低減を目的として3波長の目標点の平均をと り波長間で同一の目標点を定義した。

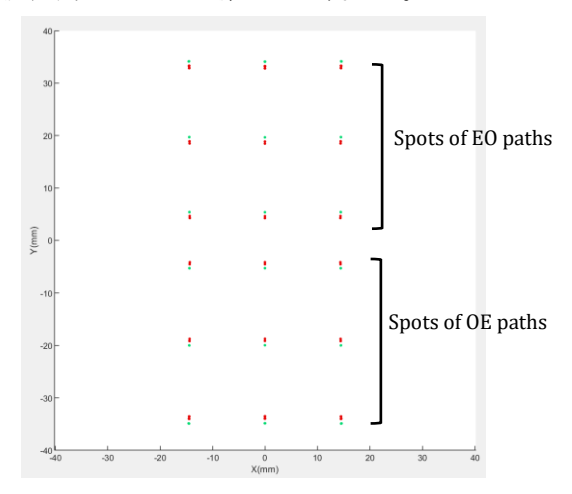


Fig 4 Spots at observation plane S29

2.3. Construction-Iteration 法による自由曲面の設計

$$OPL_{min} = \min\left(\sum_{i}^{n} n_{i} \cdot d_{i}\right) \tag{1}$$

$$\theta_{int} = \pi - a\cos\left(\frac{\boldsymbol{I} \cdot \boldsymbol{R}}{|\boldsymbol{I}||\boldsymbol{R}|}\right) + \theta_{R},$$
 (2)

$$T = I \times R \tag{3}$$

$$N = I\cos\theta_{int} + (T \times I)\sin\theta_{int} + T(T \cdot I)(1 - \cos\theta_{int})$$
 (4)

$$Z = \sum_{s_{Y=1}}^{s} \sum_{s_{V=1}}^{s} P_{sx,sy} \cdot X^{sx} \cdot Y^{sy}$$
 (5)

$$P = (Z^{\mathsf{T}}Z + w \ U^{\mathsf{T}}U + w \ V^{\mathsf{T}}V)^{-1}$$
 (6)

$$\cdot (Z^{\mathsf{T}}Z_{org} + w U^{\mathsf{T}}U_{org} + w V^{\mathsf{T}}V_{org})$$

Construction-Iteration 法の目的は XY 多項式面の 最適な多項式係数を求めることである。計算手順 は設計面のデータ点の座標とその法線ベクトルの 計算と多項式関数によるフィッティングの 2 つの ステップに分けられる。第1のステップでは、Figure 5 (a)に示すように式(1)に示すフェルマーの原理に 従って、1つのデータ点に入射する1本の光線に対 してその目標点までの光路長が最短になるように 法線ベクトルを計算する。法線ベクトル N は、入 射光線ベクトル I、屈折角 θ_R

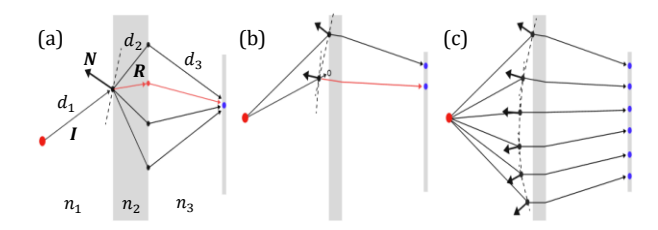


Fig 5 Computation sequence of coordinates and normals of freeform surface data points: (a) find normal with shortest OPL, (b) next ray intersection with tangential plane, (c) final set of points and normals

を用いて、式(2,3,4)によりスネルの法則とロドリゲスの回転公式によって導出される。2つ目のデータ点の座標は Figure 5 (b)に示すように1つ目のデータ点で導出された平面と2本目の入射光線との交点によって決定される。このプロセスは Figure 5 (c)に示すように全ての入射光線を通して繰り返される。

第2のステップでは、式(5)に示す XY 多項式曲面を式(6)に示す設計面のサグと法線ベクトルの偏差を最小化する最小二乗法によりデータ点にフィッティングする。Z と Z_{org} はフィッティング表面と元の表面のデータ点のサグ値[mm]である。U と V はそれぞれx 軸とy 軸方向の接線ベクトルである。以上の2 ステップを3 回繰り返し、目標点と実際の像の位置偏差を減少させる。最終的な多項式係数P は繰り返し計算の最後に得られる。

例外として繰り返し計算の2回目以降は前回のフィッティング計算により設計面の形状が更新される。よって全視野角・波長で同一のデータ点を設定するために第1ステップに入る前に2.1節の入射光線の定義を再び行う必要がある。複数の入射角・波長の光線に対して同一のデータ点を設定する理由は第1ステップで1つのデータ点に対してそれぞれの入射角・波長に対応する複数の法線ベクトルが定義され、第2ステップのフィッティングでそれらが平均化されたより代表的な法線ベクトルを取得できるようにするためである。以上に述べた設計の計算処理は光学設計ソフトウェアANAX Hyperion®[3]によって行われた。

3. 性能評価

2 節に示した設計法により OE・EO 光路それぞれで 2 つの自由曲面を算出した。6 次多項式の係数を Table 1 に示す。

S27 を自由曲面に変更した光学システムに対して設計視野角・波長で光線追跡シミュレーションを行いスポット性能を評価した。Table 2 に観測面S29 でのRMS スポットサイズ [mm]を示し、Figure 6 に波長 700 nm におけるスポットのシミュレーション結果を示す。設計前の非球面と比べてスポットサイズが OE 光路で 9.18 %減少、EO 光路で8.72 %減少した。Table 3 に色収差強度を示す。色収差強度 [mm]は波長間のスポットの中心座標の最大距離を各光路・各入射角において求め平均し

たものである。自由曲面を付与によって色収差性 能に大きな変化は確認できなかった。

Table 1 Coefficients of 6^{th} XY polynomial surfaces for (a) OE and (b) EO paths

(a) OE path

	Y0	Y1	Y2	Y3	Y4	Y5	Y6
KO	-0.0048	-8.4846e-04	-0.0051	-1.5581e-05	-1.0319e-06	-2.3248e-08	-1.9570e-10
(1	3.6121e-07	-6.5876e-08	1.2753e-08	2.4267e-09	1.0964e-10	1.5394e-12	(
K2	-0.0048	6.9120e-06	-2.3099e-07	-4.4891e-09	-4.4323e-11	0	0
K3	-3.9864e-09	1.8272e-09	1.5575e-10	3.0000e-12	0	0	0
X4	-8.7040e-07	-2.0123e-08	-1.1106e-10	0	0	0	0
K5	3.1104e-11	-8.5706e-13	0	0	0	0	0
X6	1.1862e-09	0	0	0	0	0	0

(b) EO path

	Y0	Y1	Y2	Y3	Y4	Y5	Y6
X0	-0.0057	0.0015	-0.0052	2.6801e-05	-1.5189e-06	3.4656e-08	-3.0907e-10
X1	7.1140e-08	2.2422e-08	2.2697e-09	-3.4994e-10	1.1422e-11	-1.1175e-13	0
X2	-0.0048	-7.0024e-06	-1.3360e-07	-8.5193e-11	1.4959e-11	0	0
X3	-6.2532e-10	-1.5652e-10	8.6235e-12	-9.0708e-14	0	0	0
X4	-7.5477e-07	1.7727e-08	-7.7573e-11	0	0	0	0
X5	3.2715e-12	-5.1268e-14	0	0	0	0	0
X6	9.9678e-10	0	0	0	0	0	0

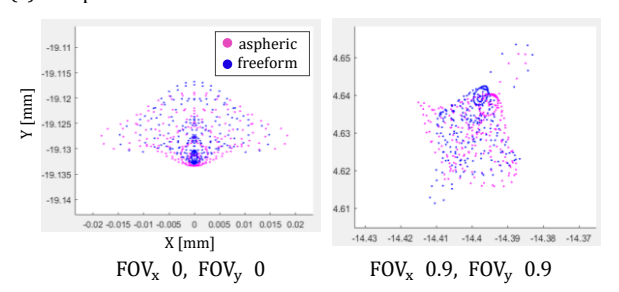
Table 2 Mean rms spot sizes [mm] for 9 FOVs and 3 wavelengths

		Aspheric	Freeform
OE	path	0.01432	0.01301
EO	path	0.01429	0.01304

Table 3 Mean spot centre intervals [mm] between 3 wavelengths

	Aspheric	Freeform
OE path	1.1141	1.1140
EO path	1.0839	1.0839

(a) OE path



(b) EO path

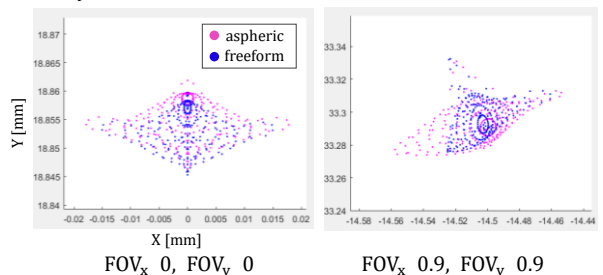


Fig 6 Comparison of spots between aspheric and freeform surface at wavelength 700 nm

4. 結言

巨大マゼラン望遠鏡の観測試験用カメラシステムの非球面レンズ面 S27 を自由曲面に再設計することにより結像性能の向上を試みた。光路が光学軸に対して非対称なシステムに対して非対称自由曲面を導入することにより複屈折の OE・EO 光路ともにスポットサイズが約9%低減した。複数の自由曲面を組み合わせることで10%以上の性能向上が見込まれる。今後はレンズ面 S10/11, S15/16, S17/18, S28 にも設計を施し最適な変更箇所を調査する予定である。

謝辞

この研究の一部は、NEDO (国立研究開発法人新エネルギー・産業技術総合開発機構)の助成事業の成果を活用して行われました。また、アリゾナ大学の Prof. Daewook Kim と Dr. Ramya Anche、MMT の Dr. G. Grant Williams と共同で実施されました。元の非球面設計パラメータと、どの表面を改造できるかについてのアドバイスを提供しました。

文献

- H. Tailor, R. Anche, G. Williams, J. Piotrowski,
 D. Kim, 2024, Investigating the polarimetric capabilities for the Giant Magellan Telescope",
 Proc. SPIE 13096, Ground-based and Airborne Instrumentation for Astronomy X
- 2) Zhu, W, Duan, F, Tatsumi, K, Beaucamp, A, 2021, Monolithic topological honeycomb lens for achromatic focusing and imaging, Optica 9, 100-107.
- 3) https://anax.jp/anax-hyperion